

## سنتر نانوذره اکسید روی با آلایش منیزیم تهیه شده به روش سل - ژل و بررسی اثرات ضد میکروبی آن بر روی لیستریا مونوسیتوژن (Serotype 1a) PTCC 1294

نیما شادان<sup>۱</sup>(M.Sc)، خسرو عیسی‌زاده<sup>۲\*</sup>(Ph.D)، مهدی شهریاری‌نور<sup>۱</sup>(Ph.D)، علی عبدالله‌زاده ضیابری<sup>۳</sup>(Ph.D)، فرید عزیزی جلیلیان<sup>۴</sup>(Ph.D)، هادی حسن‌زاده<sup>۵</sup>(Ph.D)، صونا دلیلان<sup>۶</sup>(Ph.D)

۱- دانشگاه آزاد اسلامی واحد رشت، زیست‌شناسی-میکروبیولوژی  
۲- دانشگاه آزاد اسلامی واحد لاھیجان، گروه زیست‌شناسی-میکروبیولوژی  
۳- دانشگاه آزاد اسلامی واحد لاھیجان، گروه فیزیک  
۴- دانشگاه علوم پزشکی همدان، گروه میکروبیولوژی  
۵- دانشگاه علوم پزشکی سمنان، گروه فیزیک پزشکی  
۶- دانشگاه علوم پزشکی شهید بهشتی، مرکز تحقیقات پرتوسومیکس

### چکیده

سابقه و هدف: لیستریا مونوسیتوژن (Listeria Monocytogenes) عامل بیماری لیستریوز است و در بزرگ‌سالان منزئت اولیه، سپتی سمی و مسمومیت‌های ناشی از مصرف لبنیات را ایجاد می‌کند. در زنان باردار باکتریمی ایجاد می‌کند که به التهاب جفت، عفونت جنین و در نهایت سقط منجر می‌شود. امروزه سویه‌های این باکتری مقاومت رو به رشدی به انواع آنتی‌بیوتیک‌ها و مواد ضد میکروبی پیدا کرده‌اند، این امر باعث ضرورت سنتر نانوذره‌هایی گشته که دارای اثر ضد میکروبی می‌باشند. هدف از این تحقیق نیز سنتر نانوذره اکسید روی به همراه آلایش منیزیم (ZnO:Mg) و بررسی اثر مهاری آن روی لیستریا مونوسیتوژن بود.

مواد و روش‌ها: نانوذره ZnO:Mg با آلاییدگی منیزیم در درصدهای اتمی ۱٪، ۵٪، ۳٪، ۷٪ به روش سل- ژل تهیه و سنتر شدند. آزمون‌های XRD و میکروسکوپ الکترونی عبوری (TEM) به منظور مطالعه ساختاری نانوذره حاصله و سنجش کیفیت آن انجام گرفت و هم‌چنین از سنجش میزان جذب نوری (Optical Density) و میکروسکوپ الکترونی رو بشی (SEM) به منظور مطالعه اثر ضد میکروبی نانوذره استفاده شد.

یافته‌ها: یافته‌هایی به دست آمده از میزان جذب نوری نمونه‌ها و میکروسکوپ الکترونی رو بشی نشان داد که بسته به پارامترهای حجم نانوذره، درصد اتمی، دما و مدت زمان تاثیر آن، مقدار کلنی‌های باکتری به طور قابل توجهی کاهش پیدا کرده و مهار شدند.

نتیجه‌گیری: با توجه به روند روبه رشد مقاومت‌های دارویی، ویژگی‌های ساختاری مناسب و خلوص کربستالی نانوذره ZnO:Mg می‌توان از تلقیح آن به خصوص در درصدهای اتمی ۰.۵٪ و ۰.۷٪ جهت مهار و نابودسازی باکتری لیستریا مونوسیتوژن بهره گرفت.

واژه‌های کلیدی: نانوذره اکسید روی، منیزیم، لیستریا مونوسیتوژن، سل - ژل، جذب نوری.

### مقدمه

می‌باشد که عامل ایجاد بیماری لیستریوز بوده و باعث ایجاد منزئت و سپسیس در نوزادان و بالغین دچار ضعف سیستم

لیستریا مونوسیتوژنیک باکتری پاتوژن منتقله از راه غذا

اکسید روی در سال‌های اخیر موضوع مطالعات تحقیقاتی فراوانی بوده است. دلیل این استقبال را می‌توان در سازگاری زیستی بالا، دارا بودن خاصیت ضد میکروبی در pH خنثی و تکنولوژی نسبتاً ارزان ساخت آن جستجو کرد. خاصیت ضد میکروبی ترکیبات اکسید روی از گذشته بسیار دور شناخته شده و کاربردهای فراوانی در ضد عفونی کردن وسایل پزشکی، تصفیه آب، بهبود زخم‌ها، تهیه کرم‌ها و پمادهای ضدباکتری دارد [۵].

مکانیسم ضد میکروبی نانوذرات فلزی حاصل از این فلزات هنوز دقیقاً مشخص نیست. بر اساس مطالعات محققان، این مکانیسم ممکن است به صورت القای تنش اکسیداتیو به غشای سلول میکروبی به دلیل آزادسازی گونه‌های اکسیژن فعال (ROS) یا آزادسازی یون از سطح ذره و اتصال به غشای سلول و انهدام آن باشد [۶].

در این مطالعه با توجه به خواص ضد قارچی و ضد باکتریابی نانوذره اکسید روی با اضافه کردن آلایدگی منیزیم در درصدهای اتمی مختلف، نانوذره ZnO:Mg تهیه و سنتز شده و اثرات ضد میکروبی آن در شرایط InVitro روی باکتری لیستریا مونوسيتوزنز بررسی شد.

## مواد و روش‌ها

سنتر نانوبودر ZnO:Mg به روش Sol-gel: نانوبودر اکسید روی با آلایدگی استات منیزیم در درصدهای اتمی ۱٪/۳٪/۵٪ و ۷٪ به روش سل-زل احتراقی تهیه گردید. برای این منظور پس از توزین مواد اولیه محلول‌های جداگانه از استات رویو استات منیزیم به نسبت درصدهای اتمی ۱٪/۳٪/۵٪ و ۷٪ دیاتانول آمین به عنوان پایدار ساز در متانول به صورت مجزا روی همزن مغناطیسی به مدت یک ساعت قرار گرفتند. سپس محلول‌های جداگانه تهیه شده، به یکدیگر افزوده شدند و به مدت ۲ ساعت با همزن مغناطیسی مخلوط شده، محلول شفاف نهایی به دست آمد که به منظور فرایند پیرسازی به مدت ۳ روز در دمای اتاق نگهداری شد.

ایمنی، آنسفالیت، سقط جنین هم در دام و هم در انسان می‌شود. این ارگانیسم در پیدایش اپیدمی‌های گاسترو انتریت تب دار نیز نقش دارد. مکان عفونت، در درون سلول می‌باشد بنابراین عفونت حاصل از لیستریا ارتباط مستقیم و قابل توجهی با اختلال ایمنی سلولی دارد مانند: بارداری، بیماری ایدز، لنفوم، پیوند عضو و به خصوص بیماران پیوند کلیوی [۱]. ویژگی‌هایی مانند پراکنده‌گی گسترده در محیط، توانایی رشد در دامنه وسیعی از pH، شرایط یخچال، آلودگی گسترده در لبیات به خصوص پنیر، تحمل مقادیر بالای نمک و استعداد بالا برای ایجاد مقاومت در برابر آنتی‌بیوتیک‌ها به وسیله کسب ژن‌های مقاومت آنتی‌بیوتیکی، این باکتری را به عنوان یاتوزن بسیار خطرناک مطرح نموده و باعث ضرورت انجام تحقیقات بیشتر برای مهار این میکرووارگانیزم و در همین راستا باعث ضرورت سنتر نانوذره‌هایی گشته که دارای اثرات ضد میکروبی می‌باشند [۲].

ظهور فناوری نانو در عرصه بهداشت و علم پزشکی، راه حل‌های کاربردی را در ارتباط با مبارزه با میکرووارگانیزم‌ها و فعالیت ضد میکروبی نانومواد پیش روی بشر قرار داده است. مطالعه نانومواد حاکی از این مطلب است که هنگامی که اندازه ذرات به کمتر از ۱۰۰ نانومتر می‌رسد، خواص فیزیکی و شیمیابی آن‌ها تغییر یافته و این تفاوت به اندازه‌های است که حتی رنگ، نقطه ذوب، خصوصیات شیمیابی و غیرهموار با خارج از این محدوده کاملاً متفاوت است [۳].

در حقیقت، آن‌چه سبب ظهور این فناوری شده است، نسبت بالای سطح به حجم در ذرات با ابعاد نانومتر است. این نسبت با شعاع نانوذرات کروی رابطه مستقیمی دارد. با کاهش ابعاد ذرات در حد نانومتر، قدرت فعالیت سطحی مواد افزایش چشمگیری می‌یابد و نسبت واکنش دادن مواد با محیط اطراف به دلیل افزایش سایت‌های فعال سطحی بیشتر می‌شود. امروزه این فناوری در علوم زیستی و پزشکی به خصوص با فراهم آوردن امکان ایجاد تغییرات در مکانیسم‌های بدن انسان، تصحیح نقص‌ها و درمان بیماری‌ها کاربردهای فراوانی به خود گرفته است [۴].

در انکوباتور شیکردار قرار گرفته، میکروارگانیسم‌های مورد نظر در اواخر فاز لگاریتمی خود ظاهر شدند و به کدورت معادل استاندارد نیم مکفارلندر رسیدند.

تهیه سوسپانسیون نانوذره: سوسپانسیون نانو پودر ZnO:Mg نیز برای تلقیح در لوله‌های محتوی باکتری، از ترکیب ۰/۰۶ میلی‌گرم نانوپودر در ۶ میلی‌لیتر محیط ۱۵ کشت Mueller Hinton Broth (Merck) حاصل و به مدت ۱۵ دقیقه روی هم زن مغناطیسی به خوبی مخلوط شده و به منظور استریل کردن سوسپانسیون در ۱۲۱ درجه سانتی‌گراد به مدت ۱۵ دقیقه اتوکلاو شد.

تلقیح با باکتری لیستریا مونوستیوژن: به ازای هر کدام از درصدهای اتمی ۱٪، ۳٪ و ۵٪، ۷٪، ۳ لوله تعیین شد که به هر کدام ۳ میلی‌لیتر محیط کشت MHB، ۱۰۰ میکرولیتر از کدورت تهیه شده از باکتری (نیم مک فارلندر) و به ترتیب حجم‌های ۱۰۰، ۲۰۰ و ۳۰۰ میکرولیتر از سوسپانسیون تهیه شده از نانوپودر اضافه شد. همه لوله‌ها در انکوباتور شیکردار در دمای ۳۷ درجه سانتی‌گراد قرار داده شد و بعد از مدت زمان‌های مختلف تا ۴۸ ساعت نمونه‌ها بررسی شدند.

آزمون‌های سنجش فعالیت ضد میکروبی رفتار ضد میکروبی نمونه‌ها با مطالعه منحنی رشد باکتری Listeria Monocytogenes به وسیله سنجش کدورت و اندازه‌گیری میزان جذب نوری (OD) در دستگاه اسپکتروفوتومتر با طول موج ۶۰۰ نانومتر در ساعت‌های مختلف بررسی شد. هم‌چنین شیوه و شدت اثر نانوذره ZnO:Mg روی مورفولوژی باکتری توسط میکروسکوپ الکترونیکی (SEM) بررسی شد.

## نتایج

نتایج آنالیز پراش اشعه ایکس: در این تحقیق از تکنیک اندازه‌گیری حوزه‌های کریستالی برای انجام و تفسیر داده‌ها استفاده شد. اطلاعات به دست آمده از پراشیک کریستال شامل: زاویه قله ماسکیسم، شدت نسبی ماسکیسم‌ها و هم‌چنین پهنه‌ای هر قله می‌باشد. اندازه حوزه کریستالی و میکروکرنش

طی فرایند پیرسازی محلول با تشکیل پیوندهای جدید به صورت یک شبکه سه بعدی، شکل گرفته، حفرات آن فشرده و محلول همگن و یکنواختی با پایداری و استحکام بیشتر موسوم به سل پدید می‌آید. در مرحله بعد بر اثر حرارت دهی اولیه در دمای ۱۱۰ درجه سانتی‌گراد به مدت ۳-۴ ساعت در دستگاه آون، حلال تبخیر شده و سپس در ادامه فرایند احتراق، نمونه‌ها با طول گام ۳-۴ درجه سانتی‌گراد بر دقيقه در دمای ۵۰۰ درجه سانتی‌گراد درون کوره الکتریکی به مدت یک ساعت کلسينه شده در نهايیت پودر سفید رنگی حاصل شد.

آزمون‌های سنجش کیفیت ساختار نانوذره ZnO:Mg: به منظور مشخصه‌یابی ساختاری نانوپودر حاصله از طیف سنجی پراش پرتوایکس (XRD) در محدوده ۱۰-۹۰ درجه با گام ۰/۰۴ درجه استفاده شد Pw1800 Philips. (ساخت شرکت Philips). تکنیک آنالیز به صورت اندازه‌گیری حوزه‌های کریستالی و تفسیر حاصل از مشاهده پهنه‌ای قله‌ها در نمودار به دست آمده انتخاب و انجام شده است [۷]. اندازه و مورفولوژی کریستال‌های نانوذره ZnO:Mg نیز توسط میکروسکوپ الکترونیکی عبوری (TEM) بررسی گردید (TEM Leo 912 AB).

آماده‌سازی باکتری ابتدا با باکتری Listeria Monocytogenes PTCC1294 Serotype 1a) از مرکز کلکسیون میکروبی سازمان پژوهش‌های علمی و صنعتی ایران تهیه شد. برای فعال کردن این باکتری ابتدا مقداری از بودر لیوفیلیزه در شرایط استریل به محیط کشت Brain Heart Infusion Broth (Merck) اضافه شد و در ۳۷ درجه سانتی‌گراد به مدت ۱۸ ساعت انکوبه گردید و برای حداقل دو مرتبه به طور متوالی تجدید کشت شد. در ادامه مقداری از آن در سطح محیط کشت Brain Heart Infusion Agar (Merck) کشت داده و کلندی‌های خالص به دست آمد. یک کلندی خالص در محیط کشت Brain Heart Infusion Broth کشت داده شد و به مدت ۲۴ ساعت در ۳۷ درجه سانتی‌گراد



شکل ۲ . تصویر TEM از نانوذرات اکسید روی و ناخالصی منیزیم با درصد اتمی ۷٪

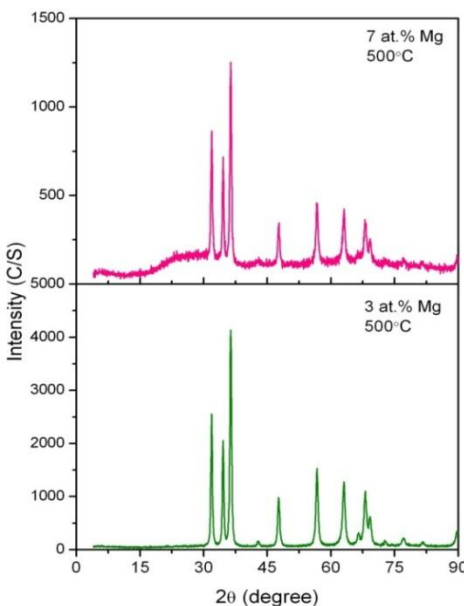
### سنجش میکروبی

نتایج اندازه‌گیری میزان جذب نوری: از آنجایی که افزایش در جذب اپتیکی سوسپانسیون‌های حاوی باکتری نشانگر افزایش در تعداد میکرووارگانیسم‌هاست، بررسی تغییر جذب اپتیکی می‌تواند چگونگی رشد کلنی‌های باکتری را تعیین نماید. نمونه‌ها بر حسب عوامل مختلفی مانند: درصد اتمی، حجم‌های مختلف و زمان انکوبه شدن آماده شدند. میزان OD توسط دستگاه اسپکتروفوتومتر در طول موج ۶۰۰ نانومتر اندازه‌گیری شد [۹].

همان‌گونه که در شکل ۳ مشاهده می‌شود میزان جذب نوری درصد اتمی ۷٪ سنتر شده در دمای ۵۰۰ درجه سانتی‌گراد پس از ۴۸ ساعت ۰/۱۶ است که کمترین میزان OD بدست آمده از درصدهای اتمی مختلف بوده و بیشترین فعالیت ضد میکروبی را نشان می‌دهد. با توجه به نتایج بدست آمده سوسپانسیون حاوی نانوذرات ZnO:Mg بسته به درصد اتمی آلاش منیزیم به طور قابل ملاحظه‌ای مانع رشد باکتری می‌شود و این ممانعت از رشد با افزایش درصد اتمی و غلظت منیزیم در محیط شدیدتر می‌شود.

نتایج آنالیز آماری SPSS. این آزمون بر مبنای اعداد بدست آمده از میزان جذب اپتیکی نمونه‌ها انجام شد. داده‌ها از نوع فراوانی بوده و بنابراین از آزمون‌های غیر پارامتریک

آن‌ها عوامل مؤثر در پهنهای قله‌ها می‌باشند. هرچه حوزه کریستالی بزرگ‌تر باشد پهنهای قله‌ها کم‌تر است [۸]. با توجه به این مطلب و مشاهده قله‌های موجود در شکل ۱ می‌توان تایید کرد که نانوپودر سنتر شده در هر چهار درصد اتمی آنالیز شده در دمای ۵۰۰ درجه سانتی‌گراد دارای حوزه‌های کریستالی مشخص و وسیع می‌باشند. هم‌چنین از تجزیه و تحلیل داده‌ها با استفاده از رابطه شر اندازه دقیق درصدهای اتمی تحت آنالیز بر حسب نانومتر به دست آمد (جدول ۲).



شکل ۱ . نمودار XRD از درصدهای اتمی ۳٪ و ۷٪ نانوپودر ZnO:Mg

جدول ۱. اندازه درصدهای اتمی مختلف نانوپودر ZnO:Mg با استفاده از رابطه شر در آنالیز XRD

Sample	Average Grain Size(nm)
3% - 500°C	24.52
7% - 500°C	20.44

نتایج میکروسکوپ الکترونی عبوری: مطابق شکل ۲ مشاهده شد که اندازه کریستال‌های نانوذره بر حسب مقیاس قید شده در تصویر به طور تقریبی با داده‌های بدست آمده از آنالیز XRD در مورد اندازه نانوذره سنتر شده هم‌خوانی داشته و نتایج حاصل از هر دو آزمون تاییدکننده یک‌دیگر می‌باشند.

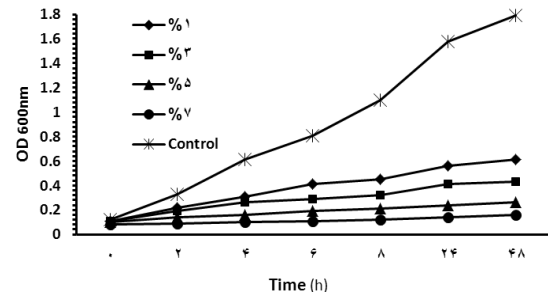
## بحث و نتیجه‌گیری

افزایش جمعیت میکروبی با غلاظت نانوذرات اکسید روی رابطه معکوس دارد. به طوری قدرت ضد میکروبی از حجم ۳۰۰ میکرولیتر در درصد اتمی ۷٪ نسبت به ۱۰۰ میکرولیتر در درصد اتمی ۱٪ کاهش می‌یابد. دلیل این موضوع را می‌توان به افزایش اندازه نانوذرات به دلیل آگلومره شدن و کاهش مقدار پراکسید هیدروژن تولید شده از سطح ذرات بزرگ‌تر نسبت داد. این نتیجه با یافته‌های Jones و همکاران نیز هماهنگی دارد [۱۰]. Adams و همکاران تولید گونه‌های حاوی اکسیژن فعال و القا تنفس اکسیداتیو را یکی از مهم‌ترین دلایل فعالیت ضد میکروبی نانوذرات اکسید روی ذکر کرده‌اند [۱۱]. Kim و همکاران دلیل اثر ضد میکروبی نانوذرات اکسید روی و نقره را تولید رادیکال آزاد در محیط میکروب‌ها و سبب صدمه به غشا و انهدام آن‌ها بیان کردند [۱۲]. شایان ذکر است که اختلاف نتایج کمترین حجم از کمترین درصد اتمی ۱۰۰ میکرولیتر از درصد اتمی ۱٪ با بیشترین حجم از بیشترین درصد اتمی (۳۰۰ میکرولیتر از درصد اتمی ۷٪) به نحو قابل توجهی زیاد می‌باشد. نتایج سنجش میزان جذب نوری برای این دو درصد اتمی نشان‌دهنده اختلافی در حدود ۶۶٪ می‌باشد. این فاصله اختلافی در میان سایر حجم‌ها و درصدهای اتمی نیز به طور محسوسی مشاهده می‌شود.

به طور قطع زمان نیز در تاثیر نانوذره سنتز شده بسیار موثر بوده است. در شرح نتایج بدست آمده از میزان جذب نوری درصدهای اتمی مختلف نانوذره ZnO:Mg مشاهده شد که در بازه زمانی ۲۴ ساعت میزان کارکرد ضد میکروبی نانوذره کمتر از مدت زمان ۴۸ ساعت بوده است و باکتری لیستریا مونوسیتوژن با افزایش مدت زمان قرارگیری در معرض نانوذره به میزان بیشتری مهار و از بین می‌رود.

در نتایج حاصل از آنالیز پراش اشعه ایکس مشاهده شد که دو درصد اتمی ۳٪ و ۷٪ سنتز شده در دمای ۵۰۰ درجه سانتی‌گراد دارای اندازه‌های مختلفی می‌باشند. در این نتایج دیده شد که کوچک‌ترین مربوط به درصد اتمی ۷٪ (۲۰/۴۴) می‌باشد. این اختلاف اندازه وقتی قابل توجه می‌شود که تاثیر

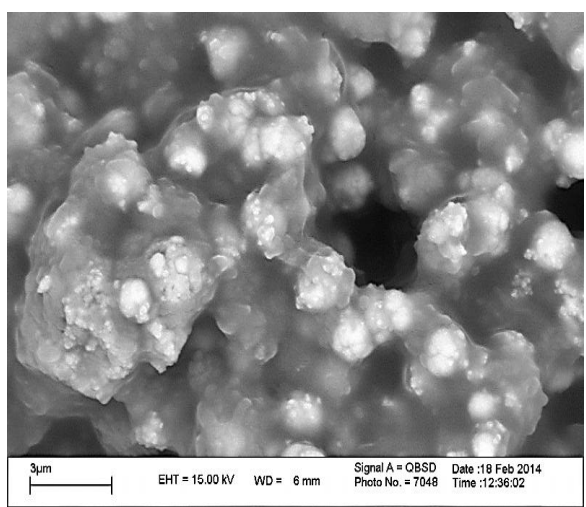
استفاده شد. آزمون‌های غیر پارامتریک مناسب برای این پژوهش آزمون یومن‌وبتنی و کروسکال‌والیس تشخیص داده شدند. این آزمون‌ها داده‌ها را مانند تحلیل واریانس در نمونه‌های غیر پارامتریک می‌سنجدند.



شکل ۳. منحنی رشد باکتری لیستریا مونوسیتوژن در حضور نانوذرات ZnO:Mg با غلاظت‌های مختلف

بر پایه آمار سطح معنادار به دست آمده برای رابطه بین میزان جذب نوری با حجم و درصد اتمی در آزمون کروسکال والیس  $0.02 / 0.01$ ، یعنی کوچک‌تر از  $0.01 / 0.01$  ( $p < 0.01$ ) می‌باشد. بنابراین فرض پژوهش با خطای یک صدم پذیرفته می‌شود. از این رو با اطمینان ۹۹٪ می‌توان گفت بین میزان OD حاصل و درصد اتمی رابطه معنادار وجود دارد.

نتایج میکروسکوپ الکترونی رویشی: نانوذرات ZnO:Mg و بقایای باکتری لیستریا مونوسیتوژن در شکل ۴ مشاهده می‌شود.



شکل ۴. عکس SEM از با بزرگنمایی ۱۵ kx

شده است. به ندرت این دو ماده در کنار هم برای هدفی در راستای مهار میکروبی استفاده شده است و می‌توان گفت نتایج بسیار ایده‌آل و مثبت در زمینه خاصیت ضد میکروبی و فعالیت فوق العاده نانوذره ZnO:Mg در مقابل باکتری لیستریا مونوسیتوژنز می‌تواند ناشی از تاثیر این آلایش بر فعالیت ضد میکروبی اکسید روی باشد.

بسته به مراحل انجام کار، آنالیزها و سنجش‌های مختلفی روی نانوذره ZnO:Mg به منظور سنجش میزان کیفیت و ویژگی‌های ساختاری نانوذره و آثار تلقیحی آن روی باکتری لیستریا مونوسیتوژنز انجام گرفت. در مبحث سنتر نانوذره نتایج به دست آمده حاکی از کیفیت و ویژگی‌های ساختاری مناسب و خلوص کریستالی نانوذره بودند. همچنین با توجه به ساختار و شیوه انجام تحقیق و بالطبع نتایج به دست آمده تایید و اثبات اثر ضد میکروبی قابل توجه نانوذره ZnO:Mg به طور عینی مشاهده شد و در مقایسه با مطالعات مشابه که اکثراً حول محور اکسید روی به طور خالص انجام گردیده می‌توان گفت خاصیت ضد میکروبی اکسید روی با ایجاد آلایش منیزیم نسبت به اکسید روی به تهایی بیشتر بوده و مثبت بودن اضافه شدن منیزیم کاملاً اثبات شد.

باکتری لیستریا مونوسیتوژنز در این مطالعه به طور خالص کشت و به دست آمده و تحت شرایط مناسب در معرض نانوذره ZnO:Mg سنتر شده قرار گرفت و طبق آزمایشات مختلف تا حدود زیادی (در درصدهای اتمی ۷٪ و ۵٪) مهار و نابودی باکتری مشاهده، تایید و اثبات گردید.

## تشکر و قدردانی

مقاله حاضر، از پایان‌نامه کارشناسی ارشد آقای نیما شادان استخراج شده است. از مسئولین و کارشناسان آزمایشگاه‌های میکروبیولوژی، شیمی و نانو دانشگاه آزاد اسلامی واحد رشت و واحد لاهیجان که ما را در انجام این تحقیق یاری نمودند صمیمانه تشکر و قدردانی می‌شود.

این دو درصد اتمی را در فعالیت ضد میکروبی علیه باکتری لیستریا مونوسیتوژنز مقایسه کنیم.

در آزمایش میزان جذب نوری توسط دستگاه اسپکتروفوتومتر مشاهده می‌شود که درصد اتمی ۷٪ دارای جذب نوری کمتر (۱۶/۰ آنگستروم) نسبت به درصد اتمی ۳٪ (۴۳/۰ آنگستروم) می‌باشد که حاکی از شفافیت بیشتر و اثر ضد میکروبی زیادتر نسبت به باکتری لیستریا می‌باشد.

لازم به ذکر است نمونه‌ها در شرایط نرمال و نور محیطی مورد آنالیز قرار گرفته‌اند که این مطلب به نوبه خود بر میزان اثر ضد میکروبی نانوذره اکسید روی تاثیر دارد. Chen و Zhang<sup>[۱۳]</sup> بیان داشته‌اند که شرایط محیط و نور مرئی برای فعالیت ضد میکروبی اکسید روی کافی و مناسب است. در حالی که این فعالیت در شرایط تاریک با قدرت کمتری انجام می‌شود<sup>[۱۴]</sup>. Sawai و همکاران با بررسی اثر ضد میکروبی پودرهای اکسید روی، اکسید مس و اکسید منیزیم گزارش کرده‌اند که این سه اکسید فلزی قدرت ضد میکروبی خوبی در برابر طیف وسیعی از میکروارگانیسم‌ها دارند<sup>[۱۵]</sup>. Fernandez و همکاران نیز گزارش کرده‌اند که کیسه‌های حاوی جاذب نانوذرات اکسید روی در بسته‌های گوشت مرغ می‌تواند رشد میکروب‌ها را کاهش دهد<sup>[۱۶]</sup>. Parish و همکاران نیز استفاده این از نانوذره اکسید روی در مصرف غذایی را با اثر دادن آن بر آب پر تقال نشان دادند<sup>[۱۷]</sup>. Kubacka و همکاران با به کارگیری فیلم‌هایی از جنس اتیلن وینیل الكل حاوی نانوکامپوزیت اکسید روی - دی اکسید تیتانیوم نشان دادند که این فیلم‌ها قدرت ضد میکروبی بالایی در برابر طیف وسیعی از کپک‌ها، مخرم‌ها و باکتری‌ها دارند<sup>[۱۸]</sup>. Ravindra و همکاران نیز با اضافه کردن ذرات نانو اکسید روی در سطح الیاف پلیمر‌های نساجی با استفاده از روش LBL نشان دادند که این الیاف دارای فعالیت آنتی‌باکتریال شده‌اند. نانو اکسید روی سنتر شده با افزایش غلظت توان ضد میکروبی بیشتری نشان داد<sup>[۱۹]</sup>. در اکثر منابع ذکر شده و موجود نانوذره ZnO روی میکروارگانیسم‌های مختلف به صورت مستقل و یا در صورت آلاییدگی، از فلزات و عنصری غیر از عنصر منیزیم استفاده

- [10] Jones C, Neumann M, Munstedt H. Properties of metal nanoparticles and antimicrobial Effects 2006; 3: 71-88.
- [11] Adams LK, Lyon DY, Alvarez PJ. Comparative ecotoxicity of nanoscale TiO<sub>2</sub>, SiO<sub>2</sub>, and ZnO water suspensions. *Watter Res* 2006; 40: 3527-3532.
- [12] Kim JS, Kuk E, Yu K, Kim JH, Park SJ, Lee SJ, et al. Antimicrobial effects of silver nanoparticles. *Nanomedicine* 2007; 3: 95-101.
- [13] Zhang H, Chen G. Potent antimicrobial activity of MgO/TiO<sub>2</sub> nanocomposite. *Environ Sci Technol* 2009; 43: 2905-2910.
- [14] Sawai J, Yoshikawa T. Quantitative evaluation of antifungal activity of metallic oxide powders (MgO, CaO and ZnO) by an indirect conductimetric assay. *J Appl Microbiol* 2004; 96: 803-809.
- [15] Fernández A, Soriano E, López-Carballo G, Picouet P, Lloret E, Gavara R. Preservation of aseptic conditions in absorbent pads by using zing nanotechnology. 2009; 42: 1105-1112.
- [16] Parish M. Orange juice quality after treatment by ZnO nanoparticle or thermal pasteurization isostatic high pressure, 2011, *Lwt* 1998; 31: 439-442.
- [17] Kubacka A, Cerrada ML, Serrano C, FernándezGarcía M, Ferre M. Plasmonic nanoparticle polymer nanocomposites with enhanced photocatalytic antimicrobial properties. *J Phys Chem* 2009; 113: 9182-9190.
- [18] Ravindra D, Kale Ch, Ram M. Synthesis and application of zinc oxide nanoparticles on nylon fabric by layer by layer technique as antimicrobial property. *Intern J Basic Appl Chem Sci* 2011; 312: 117-126.

## منابع

- [1] Jin T, Sun D, Su JY, Zhang H, Sue HJ. Antimicrobial efficacy of zinc oxide quantum dots against listeria monocytogenes. *J Food Sci* 2009; 74: 46-52.
- [2] Niederberger, Markus, Metal Oxide Nanoparticles in Organic Solvents Synthesis, Formation, Assembly and Application, 2008; 7: 74-83.
- [3] Chaudhry Q, Scotte M, Blackburn J, Ross B, Boxall A, Castle L, et al. Applications and implications of nanotechnologies for the food sector. *Food Addit Contam Part A Chem Anal Control Expo Risk Assess* 2008; 25: 241-258.
- [4] Sumio Sa, Sol-Gel Science and Technology, Kluwer Academic Publishers 2013; 34: 439-447.
- [5] Jones N, Ray B, Ranjit KT, Manna AC. Antibacterial activity of ZnO nanoparticle suspensions on a broad spectrum of microorganisms. *FEMS Microbiol Lett* 2008; 279: 71-76.
- [6] Gajjar P, Petree B, Britt DW, Huang W, Johnson WP, Anderson AJ. Antimicrobial activities of commercial nanoparticles against an environmental soil microbe, *Pseudomonas putida* KT2440. *J Biol Eng* 2009; 3: 9.
- [7] Suryanarayana C, Grant Norton M. "X-Ray Diffraction: A Practical Approach". New york, Plenum press 2009; 109: 133-145.
- [8] Leonid V, Azarof A, "Elements of X-Ray Crystallography". McGraw-Hill Companies, Journal of Controlled Release 1999; 144: 151-158.
- [9] Demtröder W, Laser Spectroscopy: Basic Concepts and Instrumentation. Springer 2009; 343: 237-246.

# Synthesis of ZnO:Mg nanoparticle with sol-gel method and its antimicrobial efficacy against *Listeria Monocytogenes* PTCC 1294 (Serotype 1a)

Nima Shadan (M.Sc)<sup>1</sup>, Khosro Issazadeh (Ph.D)<sup>\*2</sup>, Mahdi ShahriariNour (Ph.D)<sup>1</sup>, Ali Abdolahzadeh Ziabari (Ph.D)<sup>3</sup>, Farid Azizi (Ph.D)<sup>4</sup>, Hadi Hasanzadeh (Ph.D)<sup>5</sup>, Sona Dalilan (Ph.D)<sup>6</sup>

1- Dept. of Microbiology, Islamic Azad University, Rasht Branch, Guilan, Iran

2- Dept. of Microbiology, Islamic Azad University, Lahijan Branch, Guilan, Iran

3- Dept. of Physics, Nano Research Lab, Islamic Azad University, Lahijan Branch, Guilan, Iran

4- Dept. of Microbiology, Hamedan University of Medical Sciences, Hamedan, Iran

5- Dept. of Medical Physics, Semnan University of Medical Sciences, Semnan, Iran

6- Proteomics Research Center, Shahid Beheshti University of Medical Sciences, Tehran, Iran

(Received: 15 Jun 2014; Accepted: 22 Oct 2014)

**Introduction:** *Listeria monocytogenes* is the disease agent of listeriosis and creates primary meningitis, septicemia and food poisoning in due to consumption dairy in adults. In pregnant women usually causes bacteremia that lead to inflammation of the placenta, fetal infection and eventually abortion. Since today strains of *L.monocytogenes* have progressively become resistant to various antibiotics and the antimicrobial materials, this makes it necessary to synthesize the nanoparticle which have antimicrobial effects. Purpose of this study was also to synthesize ZnO nanoparticle with magnesium doping (ZnO:Mg) and investigate its inhibitory effect on *L.monocytogenes*.

**Materials and Methods:** ZnO:Mg nanoparticle were prepared and synthesized using Sol-Gel method in Atomic Percents of 1%, 3%, 5%, 7%. Tests of XRD and transmission electron microscopy performed in order to study the structure of the nanoparticle and evaluation its quality and also measurement of Optical density and scanning electron microscopy was used to study antimicrobial effect of nanoparticle.

**Results:** The results obtained from measurement of optical density and scanning electron microscopy showed that depending on the parameters of nanoparticle dilutions, atomic percent, temperature and duration, the amount of bacteria colonies has been significantly and mainly decreased and inhibited.

**Conclusion:** Due to the growing trend of drug resistance, suitable structural characteristics and purity crystalline nanoparticles ZnO:Mg, it can be inoculated, particularly in atomic percentages of 5% and 7% for the inhibition and destruction of *L.monocytogenes*.

**Keywords:** ZnO nanoparticle, Mg, *Listeria monocytogenes*, Sol-Gel Method, Optical Density

\*Corresponding author. Fax: +98 13 42229081 Tel: +98 9112422730

Issa\_kaam@yahoo.

## How to cite this article:

Shadan N, Issazadeh K, ShahriariNour M, Abdolahzadeh A, Azizi jalilian F, Hasanzadeh H et al .

Synthesis of ZnO:Mg nanoparticle with sol-gel method and its antimicrobial efficacy against

*Listeria Monocytogenes* PTCC 1294 (Serotype 1a). koomesh. 2015; 16 (2) :266-272

URL [http://koomeshjournal.semums.ac.ir/browse.php?a\\_code=A-10-2657-1&slc\\_lang=fa&sid=1](http://koomeshjournal.semums.ac.ir/browse.php?a_code=A-10-2657-1&slc_lang=fa&sid=1)